

Photorefractive behavior of BaTiO₃ crystals and their application in optical metrology in real time

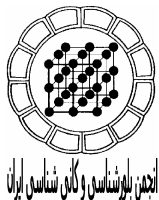
M. H. Majles Ara, M. Shaban

Dept. of Physics Photonics Lab. Teacher Training University

(Received: 4/2/2005, received in revised form: 27/11/2005)

Abstract: In this research we measure some of the optical parameters of Barium Titanate crystal (BaTiO₃), such as signal beam gain, coupling constant (exponential gain coefficient), change in index refraction and photorefractive sensitivity, which are very significant for optical data storage. In all experiment, two- wave mixing configuration at 632.8 nm (He-Ne laser) were used. Experimental data for change in signal beam gain versus input angle of two beam, beam intensity ratio, pump beam intensity and grating vector, were plotted and compared with Kukhtarev theory. Using of experimental data, we calculated other optical parameters such as exponential gain coefficient, change in index refraction and photorefractive sensitivity. The results are good and the crystal can be used for optical data storage, dynamic holography, etc. For a - wave mixing configuration, the same crystal as a recording medium for real time displacement has been used. For measurement of distant object a high coherent source such as He-Ne laser has can been used. Long coherence length of the laser permit to study the objects which are far away from the crystal. The influence of intervening medium must be negligible.

Keywords: Barium Titanate Crystal, Photorefractive Effect, Two-Wave Mixing, Real Time Displacement Measurement.



رفتار نورشکستی بلور تیتانات باریم و کاربردهای آن در اندازه‌گیری‌های اپتیکی در زمان واقعی

محمدحسین مجلس آرا، مجتبی شعبان

دانشگاه تربیت معلم تهران دانشکده علوم گروه فیزیک آزمایشگاه فوتونیک
پست الکترونیکی: ara@msrt.ir

(دریافت مقاله ۱۱/۱۳، ۱۳۸۴/۹/۶، دریافت نسخه نهایی)

چکیده: در این مقاله بعضی از پارامترهای مهم اپتیکی بلور تیتانات باریم (BaTiO_3) مانند بهره بلور، ثابت جفتیدگی (ضریب بهره‌نمایی)، تغییر در ضریب شکست بلور و حساسیت نورشکستی را که در ضبط اطلاعات اپتیکی از اهمیت زیادی برخوردارند اندازه‌گیری می‌کنیم. در تمام آزمایشها از چیدمان ترکیب دو موج (TWM) و طول موج 632.8 nm استفاده شده است. نتایج تجربی به دست آمده یعنی، تغییرات بهره بلور را نسبت به زاویه فروپاشی دو باریکه، شدت نسبی باریکه‌ها، شدت باریکه دمش و بردار شبکه توری رسم و با محاسبات نظری که بر اساس نظریه کوختارو انجام داده‌ایم مقایسه می‌کنیم. برخی از پارامترهای اپتیکی بلور تیتانات باریم از قبیل: تغییر در ضریب شکست حالت پایا و حساسیت نورشکستی را با استفاده از نتایج تجربی، محاسبه می‌کنیم. نتایج به دست آمده برای بلور مورد نظر نتایج مطلوبی است و بیانگر کارایی این بلور در ضبط اطلاعات اپتیکی، هولوگرافی دینامیک و غیره است. سپس بر اساس پیکربندی ترکیب دو موج در این بلور، جا به جایی و تغییر مکان شیئ را در زمان واقعی مورد مطالعه قرار می‌دهیم. طول همدوسوی مناسب لیزر هلیم - نئون این امکان را فراهم می‌کند که مکان شیئ که در فاصله دور از بلور قرار گرفته است به خوبی مطالعه شود. آزمایش را باید در محیطی کاملاً آرام و خالی از نوسانها انجام داد و در عین حال تأثیر محیط را نادیده گرفت.

واژه‌های کلیدی: ترکیب دو موج، اثر نورشکستی، بلور تیتانات باریم، اندازه‌گیری در زمان واقعی.

مقدمه

در سالهای اخیر بلورهای نورشکستی (Photorefractive) مانند BaTiO_3 , KNbO_3 , $\text{Bi}_4\text{Ti}_3\text{O}_{12}$, SNB, KNSBN, BSO, BGO, GaAs, InP, CdTe, فروالکتریک، نافروالکتریک و نیمرسانا هستند، به دلیل کاربرد گسترده آنها در ذخیره‌سازی اطلاعات اپتیکی، هولوگرافی دینامیک، احساسگرهای نورشکستی، تولید آینه‌های مزدوج فاز و غیره مورد توجه بسیاری از پژوهشگران قرار گرفته‌اند [۱-۳]. پدیده نورشکستی یکی از اثرهای مهم است که در ناحیه اپتیک غیرخطی از ترکیب امواج در محیط رخ می‌دهد [۴-۶]. هنگامی که به این مواد نور تابیده می‌شود فوتونها جذب ناخالصیهای درون بلور می‌شوند و تعدادی از الکترونها نوار ظرفیت به نوار رسانش می‌روند و سپس به نواحی دیگری که بیشتر نواحی تاریک محسوب می‌شوند پخش می‌شوند و در آنجا عمل بازنگری صورت می‌گیرد. نتیجه این فرایندها جدایی بار فضایی بوده که به نوبه خود باعث ایجاد میدان بار فضایی می‌شود. این میدان بنابر اثر پوکلز (Pokels effect) ضریب شکست بلور را تغییر داده و توریهایی در محیط ایجاد می‌کند که امکان ضبط اطلاعات اپتیکی را فراهم می‌آورد [۷-۹].

اثر نورشکستی در بلور تیتانات باریم اولین بار توسط تائزند و همکارانش مشاهده شد [۹]. بر جسته‌ترین برتری این بلور در به کارگیری آن به عنوان بلور نورشکستی، آن است که ضربه الکتروواپتیک آن (42) نسبت به بلورهای دیگر مقدار قابل توجهی است که این منجر به افزایش بازده پراش می‌شود. این بلور به طور مکرر در ضبط اطلاعات اپتیکی، تقویت تصاویر همدوس، هولوگرافی دینامیک همیوغ فاز اپتیکی و هولوگرافی در زمان واقعی مورد استفاده قرار گرفته است [۱۰-۱۴]. اخیراً بلور تیتانات باریم به علت دارا بودن زمان پاسخگویی مناسب برای اندازه‌گیری اپتیکی در زمان واقعی مورد استفاده محققین بوده است [۱۵-۱۶]. معمولاً از چیدمان دو موج در بلور استفاده می‌کنیم. در این چیدمان فاز بین توری دینامیک و پرتوهای تداخلی به اندازه $\Phi = \pm \frac{\pi}{2}$ جا به جا می‌شود [۹]. این دو نوع جا به جائی فاز به ترتیب باعث تقویت و تضعیف باریکه می‌شود، هر چند که سرعتی اپتیکی برای این دو پیکربندی متفاوت است [۱۶].

سپس برای مطالعه شیء مورد نظر از پیکربندی ترکیب دو موج در فاصله چند متری از بلور تیتانات باریم، عکاسی خالدار [۱۶] و لیزر He-Ne استفاده می‌کنیم. آزمایش برای تعیین انحراف، خمیدگی یا شکستگی در شیء مرکب که به عنوان یک تک شیء به کار برده می‌شود و با استفاده از باریکه نقطه‌ای صورت می‌گیرد.

آزمایش (الف) - اندازه‌گیری پارامترهای اپتیکی بلور تیتانات باریم

مطابق چیدمان نشان داده شده در شکل (۱)، با اندازه‌گیری شدت باریکه‌های دمش و شیء پیش و پس از گذر از درون بلور، با استفاده از توان سنج رقمی مدل (Orion/TH) و احساسگر گرمایی مربوطه، به اندازه‌گیری تغییرات بهره باریکه شیء نسبت به کمیت‌های مختلف

(شکل‌های ۳، ۴، ۵ و ۶) می‌بردازیم. از طرف دیگر با استفاده از داده‌های تجربی و مراجع [۹ و ۸]، پارامترهای اپتیکی بلور تیتانات باریم (جدول ۱) مثل میدان بار فضایی، تغییر در ضریب شکست حالت پایا و حساسیت نورشکستی را محاسبه کردیم. با توجه به شکل (۳)، بیشینه

$$g = \frac{Io(L)}{Io(0)}$$

که در g بهره بلور $Io(L)$ شدت باریکه شیئ پس از بلور، و $Io(0)$ شدت باریکه شیئ پیش از بلور) به ازای زاویه فروودی $\theta = 17^\circ$ و بردار توری $k = 5.14 \times 10^6 (m^{-1})$ مشاهده می‌شود.

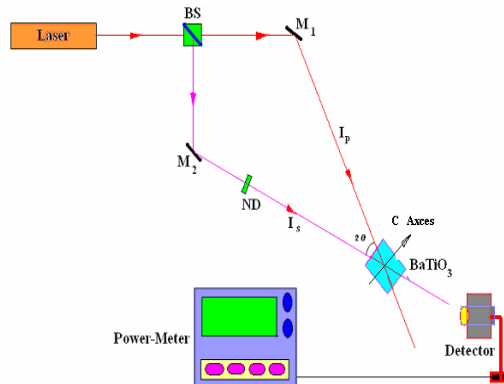
اکنون با استفاده از روابط زیر و نتایج مشاهده شده، پارامترهای اپتیکی مهم زیر را محاسبه می‌کنیم:

$$E_d = k \frac{k_B T}{q} = 133 \quad (\frac{kV}{m}) \quad \Delta n_{ss} = \frac{1}{2} n_0^3 r_{eff} E_{Sc} = 8.2 \times 10^{-5}$$

$$E_q = \frac{q N_A}{k} = 2 \times 10^{-10} \quad (\frac{kV}{m}) \quad S = \frac{\Delta n_{ss}}{\alpha I_o t} = 22.8 \times 10^{-9} \quad (\frac{m^3}{J})$$

$$E_{Sc} = \frac{E_d E_q}{E_d + E_q} = 7.3 \times 10^{-12} \quad (\frac{kV}{m}) \quad \Gamma = \frac{4\pi \delta n_{ss}}{\lambda} = 851/4 \text{ m}^{-1}$$

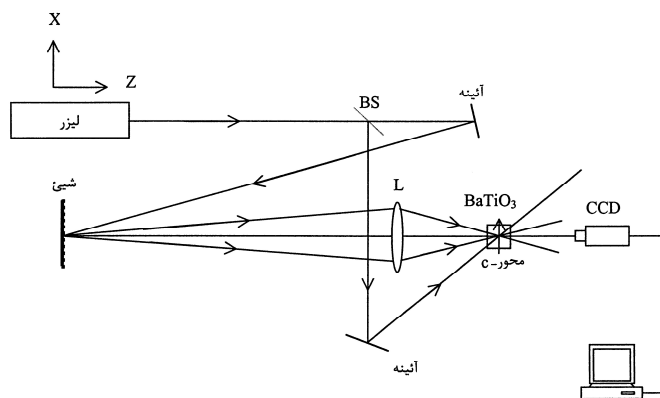
در روابط بالا Δn_{ss} تغییر در ضریب شکست بلور در حالت پایا، n_0 ضریب شکست بلور، r_{eff} ضریب الکترو-اپتیک موثر بلور، E_{Sc} میدان بار فضایی، S حساسیت بلور، α ضریب جذب اپتیکی، t زمان نوردهی، Γ ضریب بهره نمایی، θ زاویه بین دو باریکه، λ طول موج نور به کار رفته، E_d میدان پخش، E_q میدان اشعاع، k_B ثابت بولتزمن، T دمای محیط بر حسب کلوین، k بردار توری، I_o شدت نور، و ϵ ثابت دی الکتریک بلور است [۱۰].



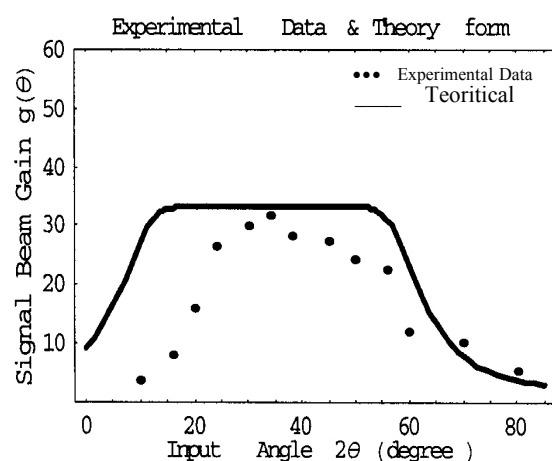
شکل ۱ چیدمان ترکیب دو باریکه در بلور نور شکستی ($BaTiO_3$).

جدول ۱ مقادیر محاسبه شده پارامترهای اپتیکی بلور تیتانات باریم.

حساسیت نورشکستی	ضریب بهره نمایی	ضریب در ضریب شکست حالت پایا	میدان بار فضایی	طول موج لیزر استفاده شده	کمیت علامت اختصاری
S	Γ	$n_1 \equiv \Delta n_{ss}$	E_{Sc}	λ	یکا
m^3/J	m^{-1}	8.2×10^{-5}	V/m	nm	مقادیر اندازه‌گیری

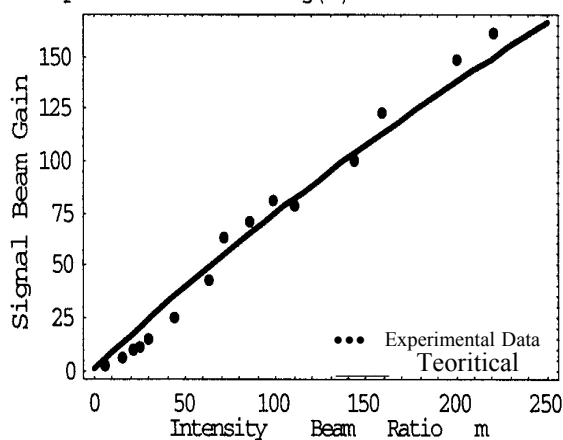


شکل ۲ چیدمان ترکیب دو باریکه در بلور به منظور تقویت باریکه شیئ.

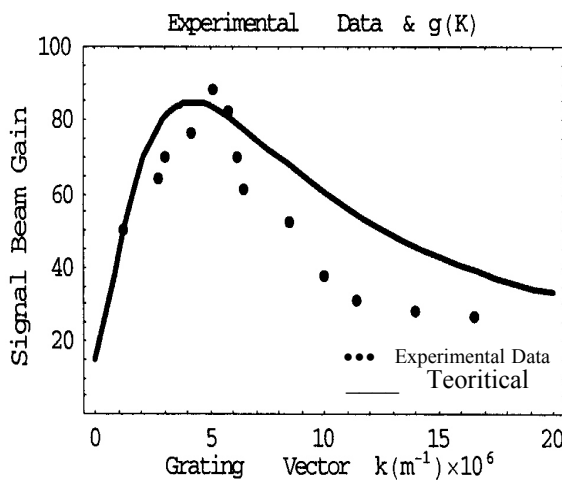


شکل ۳ تغییرات بهره بلور نسبت به زاویه بین دو باریکه.

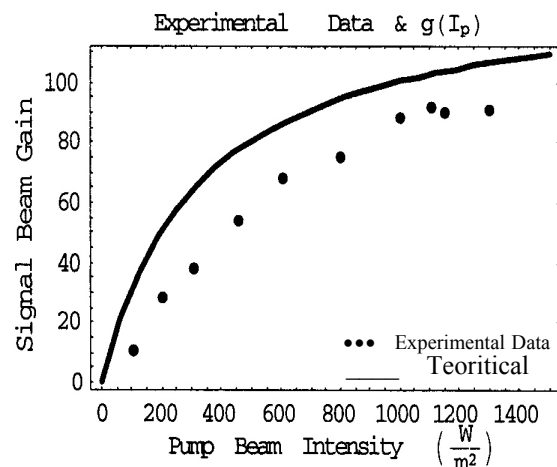
Experimental Data & $g(m)$ for $\alpha=0.3$ & $\Gamma L=7$



شکل ۴ تغییرات بهره بلور نسبت به شدت نسبی دو باریکه.



شکل ۵ تغییرات بهره بلور نسبت به بردار شبکه.



شکل ۶ تغییرات بهره بلور نسبت به شدت باریکه دمشن.

آزمایش(ب) – اندازه گیری اپتیکی در زمان واقعی

بنابر شکل (۲) در اینجا از چیدمان ترکیب دو موج استفاده می‌کنیم. باریکه لیزری (۶۳۲.۸nm) He-Ne را با شکافنده باریکه به دو بخش تقسیم می‌کنیم. I_0 (باریکه شیئ) به شیئی که در فاصله ۲/۵ متری روی میز اپتیکی قرار دارد می‌تابد. بازتاب نور از شیئ با یک عدسی به درون بلور تیتانات باریم می‌تابد. I_p (باریکه دمشن) را به درون بلور اضافه می‌کنیم. در درون بلور دو باریکه I_p و I_0 با هم تداخل می‌کنند. از آنجاکه دو باریکه همدوس هستند، نمونه‌ای از تداخل

پایدار در درون بلور شکل می‌گیرد. از ویژگی‌های بلور تیتانات باریم پاسخگویی گند آن است، لذا زمانی لازم است که دو باریکه به حالت پایدار برسند. محور C بلور را در جهت محور اپتیکی قرار می‌دهیم لذا باریکه I_0 با باریکه I_p تقویت خواهد شد. تقویت I_0 به علت انرژی حاصل از ترکیب دو باریکه دمش و شیئ است. در نتیجه شدت باریکه شیئ افزایش می‌یابد. پس از اینکه فرایند ترکیب دو موج به حالت پایدار رسید شیئ را تحت فشار مختصری قرار می‌دهیم. تغییر مختصر در شیئ موجب تغییر باریکه شیئ در درون بلور شده و فرایند ترکیب دو موج را بر هم می‌زند. در این لحظه روی صفحه تصویر دو باریکه خواهیم داشت که یکی تابش حاصل از نور پراشیده از توری دینامیک و دیگری تابشی است که مستقیماً از بلور گذر کرده است. چون فرایند خوانش در بلور نورشکست ویرانگر است، شدت باریکه دمش پراشیده به طور پیوسته کاهش می‌یابد. وقتی که ترکیب دو موج جدید به حالت پایدار برسد شدت باریکه شیئ جدید افزایش می‌یابد، لذا در روی صفحه تصویر از تداخل این دو باریکه نمونه‌ای از نوارهای تداخلی یانگ حاصل خواهد شد. این نوارهای تداخلی را می‌توان مستقیماً در رایانه ذخیره کرد.

پس از تغییر شکل شیئ دامنه باریکه جدید شیئ در صفحه به صورت زیر بیان می‌شود

.] ۱۶ [

$$E_0 = A_0 + A_p \left[1 - \exp\left(\frac{-t}{t_c}\right) \right] \quad (1)$$

A_0 دامنه باریکه شیئ است که مستقیماً از بلور می‌گذرد، A_p دامنه باریکه پراشیده شده از توری جدید و t_c زمانی است که برای ایجاد ترکیب دو باریکه سپری می‌شود. دامنه باریکه پراشیده به صورت زیر است.

$$E_d = A_d \exp\left(\frac{-t}{t_c}\right) \quad (2)$$

A_d دامنه باریکه پراشیده شده‌ای است که شدت آن در هر نقطه از صفحه تصویر از تداخل امواجی به دست می‌آید که با معادلات ۱ و ۲ داده شده‌اند.

$$I_{(t)} = [\{A_0 + A_p[1 - \exp(\frac{-t}{t_c})]\} \exp(I_\delta) + A_d \exp(\frac{-t}{t_c})]^2 \quad (3)$$

Δ اختلاف فاز ناشی از تغییر شکل شیئ است. در این پیکربندی به علت ترکیب دو موج جدید شدت باریکه شیئ پراشیده از توری رو به کاهش و شدت باریکه شیئ جدید رو به افزایش خواهد رفت. از آنجاکه شدت باریکه‌های تداخلی نسبت به زمان تغییر می‌کند، تفاوت بین نوارهای تداخلی به زمان سپری شده بستگی دارد. تفاوت نوارها $V_{(t)}$ بر حسب زمان از رابطه زیر به دست می‌آید [۱۶].

$$V_{(t)} = \frac{2\sqrt{I_0(t)I_d(t)}}{I_0(t)+I_d(t)} \quad (4)$$

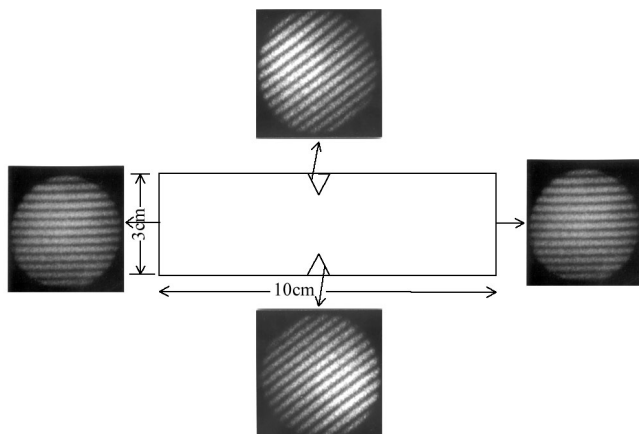
I_0 و I_d شدت باریکه‌های شیئ و پراشیده است. وقتی که شدت نوارهای تداخلی در صفحه تصویر مساوی باشد تفاوت نوارهای تداخلی در این چیدمان بیشینه خواهد بود. در روش تابش نقطه‌ای بیشینه تغییر مکانی که می‌توان اندازه‌گیری کرد به عواملی چون (الف) بزرگنمائی عدسی و (ب) اندازه جانبی باریکه دمش بستگی دارد. اندازه جابجایی d از رابطه زیر بدست می‌آید [۱۶].

$$d = \frac{\lambda Z}{MB} \quad (5)$$

که در آن B پهنای نوارهای یانگ است که به وسیله CCD در رایانه ذخیره می‌شود، M بزرگنمائی دستگاه و Z فاصله بین سطح بلور تا صفحه تصویر است.

نتایج

برای مطالعه جابجایی در شیئ، چیدمان اپتیکی آماده و شیئ مورد نظر را به شکل دانه‌ای با رنگ سفید رنگ می‌کنیم. نور پس از برخورد در همه جهات پراکنده و وارد بلور تیتانات باریم می‌شود که در فاصله ۲/۵ متری از شیئ قرار دارد. چنانکه در شکل دیده می‌شود یک شکاف در شیئ ایجاد می‌کنیم. شیئ مورد نظر را تحت تابش نور لیزر He-Ne با توان ۳۵mw قرار می‌دهیم. نور پراشیده از شیئ را با یک عدسی ($f=90\text{ mm}$) به درون بلور تیتانات باریم با ابعاد $5\times 5\times 5\text{ mm}^3$ روانه می‌کنیم. باریکه دمش را طوری به باریکه شیئ اضافه می‌کنیم که زاویه بین آنها ۳۴ درجه باشد. باریکه‌های دمش و شیئ در درون بلور تداخل کرده و در آنجا هولوگرام لازم را به وجود می‌آورند. چنانکه قبل از تغییر می‌شود و این تغییر باعث تغییر در چگونگی ترکیب دو موج خواهد شد. در این لحظه در صفحه تصویر دو باریکه پراشیده خواهیم داشت که می‌توانند نوارهای تداخلی یانگ را به وجود آورند که با یک دوربین CCD به رایانه منتقل می‌شود. در این آزمایش یک سر شیئ را به جایی محکم کرده و سر دیگر آن در فشار مناسب قرار می‌دهیم. در همین آزمایش می‌توانیم نوارهای تداخلی مربوط به اطراف شکاف را ایجاد و با نوارهای قبلی مقایسه کنیم. (شکل ۷) نشان دهنده نوارهای تداخلی یانگ در دو سر شیئ از خطوط تاریک و روشن موازی است در اطراف شکافها به صورت مورب است. یعنی نوارهای تداخلی یانگ با توجه به مکان شیئ تغییر می‌کند. به طور کلی با همین آزمایش می‌توان از هر بخش شیئ به یاری فشار در جای مورد نظر، نوارهای تداخلی ایجاد کنیم و مکان شیئ را مورد مطالعه قرار دهیم و در زمان واقعی بدون تغییر چگونگی آزمایش، موارد بالا را بررسی کنیم.



شکل ۷ نوارهای تداخلی بانگ بدست آمده از شیئ که در فاصله ۲/۵ متری از بلور قرار گرفته است.

جمع‌بندی

چنانکه اشاره شد در این مقاله با استفاده از نظریه کوختارو و نتایج تجربی، به محاسبه بهره بلور و سایر پارامترهای اپتیکی بلور تیتانات باریم پرداخته‌ایم. تغییر در ضریب شکست و حساسیت نورشکستی با به کارگیری لیزر هلیوم-نئون (۶۳۲/۸ nm) به ترتیب $\Delta n = 8,2 \times 10^{-5}$ و $S = 22,18 \times 10^{-9} \frac{m^3}{J}$ به دست می‌آید که در مقایسه با مقادیر گزارش شده، $\Delta n = 7,41 \times 10^{-5}$ و $S = 35,18 \times 10^{-9} \frac{m^3}{J}$ سازگاری خوبی دارد [۳ و ۱۰]. همچنین با

مشاهده نمودار شکلهای (۳۴) و مقایسه با مراجع یاد شده، ملاحظه می‌شود که بلور BaTiO₃ نسبت به بلورهای نورشکستی دیگر مثل BSO دارای بهره بیشتر، زمان پاسخگویی طولانی‌تر و حساسیت نورشکستی کمتری است. نتایج به دست آمده بیانگر اینست که بلور تیتانات باریم مورد آزمایش رفتار نورشکستی مناسبی در کاربردهای مختلف مانند: ضبط اطلاعات اپتیکی، هولوگرافی دینامیک (تداخل‌سنجی هولوگرافی، تولید آینه‌های مزدوج فاز و غیره) و ضبط تصاویر سه بعدی با کیفیت عالی دارد. همچنین با چیدمان ترکیب دو موج و استفاده از این بلور به عنوان محیط ضبط اطلاعات مکان شیئ را که از بلور فاصله نسبتاً زیادی دارد مورد مطالعه قرار داده و برهمکنش محیط را نادیده فرض کنیم. در این آزمایش می‌توان جا به جایی انجام شده در شیئ را تا حدود کمتر از میکرون اندازه‌گیری کرد.

مراجع

- [1] P. Yeh, C. Gu, "Landmark Papers on Photorefractive Non-Linear Optics", World Scientific, Singapore 1995.
- [2] P. Gunter, P. Huignard, "Photorefractive Materials & Their Applications", Springer-Verlag Berlin Heidelberg 1989.

- [3] M. H. Majles Ara, C. Vijayan, R. S. Sirohi, "Figure-of-Merit Parameter of Photorefractive Crystals", Proceedings of SPIE Vol. 4417 2001.
- [4] P. Yeh, "Introduction to Photorefractive Nonlinear Optics", Jon Wiley & Sons, Inc 1993.
- [5] B. Valeria Damiao, "Developments in Photorefractive Two- Beam Coupling Systems", A Thesis for Degree of Doctor of Philosophy 2000.
- [6] Z. Zhou, Y. Li, X. Sun, Q. Wan, "Perturbative Analytical Solution of Two-Wave Coupling in Photorefractive Materials at Large Modulation Depth", J. Appl. Phys. 80 (8), 15 October 1996.
- [7] P. Hariharan, "Optical Interferometry", Academic Press Australia 1985.
- [8] Ph. Delaye, J. M. C. Jonathan, G. Pauliat, G. Roosen, "Photorefractive Materials: Specifications Relevant to Applications", Pure Appl. Opt. 5 541-559, 1995.
- [9] R. L. Townsend, J. T. LaMacchia, "Optically induced refractive Index change in BaTiO₃", J. Appl. Phys., 41, 1559-1562, 1970.
- [10] H. Majles Ara, C. Vijayan, N. Krishna Mohan, R. S. Sirohi, "Parametric Study of Photorefractive Beam Coupling in BaTiO₃ at Multiple Wavelengths", Opt. Eng. 39(2) 535- 540, 2000.
- [11] M. P. Petrov, S. I. Stepanov, A. V. Khomenko, "Photorefractive Crystals in Coherent Optical Systems", Springer, Berlin, 1991.
- [12] H. J. Tizani, "Real time metrology with BSO crystal", Opt. Acta, 29, 463-73, 1982.
- [13] M. H. Majles Ara, C. Vijayan, N. Krishna Mohan, R. S. Sirohi, "Estimation of diffraction efficiency of holographic gratings in photorefractive BaTiO₃ and BaTiO₃:Ce at multiple wavelengths", Optik 110:383-383, 1999.
- [14] L. Liu, B. Helmers, K. Hinsch, "Speckle metrology with novelty filtering using photorefractive two beam coupling in BaTiO₃ crystal", Opt. commun. 100, 19-23, 1993.
- [15] M. H. Majles Ara, R. S. Sirohi, "Speckle shear photography using photorefractive crystals for in-plane strain measurement", Proceeding of SPIE Vol. 5144, 2003.
- [16] R. S. Sirohi, "Speckle Metrology", Marcel Dekker Inc., New York, 1993.